

О ФОРМЕ ИМПУЛЬСА СУПЕРФЛУОРЕСЦЕНЦИИ

И.Р.Габитов, В.Е.Захаров, А.В.Михайлов

Показано, что импульс суперфлуоресценции в лазере без зеркал имеет универсальную автомодельную форму, определяющуюся единственным параметром – временем задержки импульса.

Цель настоящей работы – построить теорию нелинейной стадии суперфлуоресценции в тех случаях, когда это явление можно описывать одномерными полуклассическими уравнениями Максвелла – Блоха, пренебрегая при этом однородным и неоднородным уширением линии. Эта теория может быть применена, например, для объяснения экспериментов по наблюдению суперфлуоресценции в пучках атомов цезия¹.

Мы покажем, что результатом развития квантовых флюктуаций в неустойчивой инверсно-заселенной среде является формирование импульса универсальной формы, автомодельно зависящего от размеров образца и определяющегося единственным параметром — индивидуальным временем задержки τ_d . Мы будем рассматривать суперфлуоресценцию в цилиндрическом образце длины L с поперечным сечением S , удовлетворяющий условию $F = S/\lambda L \approx 1$ (F — число Френеля, λ — длина волны). В образце распределены атомы с полным моментом d и плотностью n такой, что $nS\lambda \gg 1$, но $(2\pi d^2 n / \hbar \omega) \ll 1$ здесь ω — частота перехода. В безграничной инверсно-заселенной среде развилась бы неустойчивость с инкрементом $\gamma = (2\pi d^2 n \omega / \hbar)^{1/2}$. В образце конечной длины $(\gamma L/c) < \sqrt{\ln N}$ (N — полное число активных атомов) после некоторой задержки формируется импульс с характерной длительностью τ_0 порядка времени суперфлуоресценции $\tau_0 \sim \tau_{SF}$ ($\tau_{SF} = c/\gamma^2 L$). Среднее время задержки (см. ^{2,3}) $\langle \tau_d \rangle = (\tau_{SF}/16)\ln^2 N$. Мы будем предполагать, что это время существенно меньше релаксационных времен T_1 , T_2 и времени неоднородного уширения линии T_2^* . В экспериментах на атомах цезия ¹ $\langle \tau_d \rangle = 10$ нс, $T_1 = 70$ нс, $T_2 = 80$ нс, $T_2^* = 32$ нс.

При сформулированных предположениях уравнения Максвелла — Блоха могут быть решены до уравнений на комплексные огибающие волн, бегущих в разные стороны. Однако, для понимания физической картины явления достаточно, как мы покажем, рассмотреть только волны бегущие в одну сторону. В этом случае среди описывается уравнениями для безразмерных огибающих электрического поля $E(x, t)$, заселенности $Z(x, t)$ и поляризации $R(x, t)$

$$\frac{1}{v} \frac{\partial E}{\partial x} + \frac{\partial E}{\partial x} = R, \quad \frac{\partial R}{\partial t} = EZ,$$

$$\frac{\partial Z}{\partial t} = -\frac{1}{2} (ER^* + E^*R), \quad v = c\tau_{SF}/L \quad (1)$$

(мы используем нормировку принятую в ²). Уравнения (1) заданы на отрезке $0 < x < 1$ с граничным условием $E(0, t) = 0$ и начальными условиями

$$E(x, 0) = 0, \quad R(x, 0) = \rho(x), \quad Z(x, 0) = (1 - |\rho(x)|^2)^{1/2} \quad (2)$$

$\rho(x)$ — гауссова случайная функция, определяется коррелятором

$$\langle \rho(x), \rho^*(x') \rangle = \frac{4}{N} \delta(x - x'), \quad (3)$$

Решение линеаризованных ($|E| \ll 1$, $|R| \ll 1$, $|Z - 1| \ll 1$) уравнений (1) при начальных условиях (2) имеет вид

$$E(x, t) = \int_0^x dx' \rho(x') \theta(-x' + vt) I_0(2\sqrt{(x - x')(t - x/v + x'v)}). \quad (4)$$

Здесь $I_0(\xi)$ — функция Бесселя мнимого аргумента, $\theta(x)$ — функция Хевисайда.

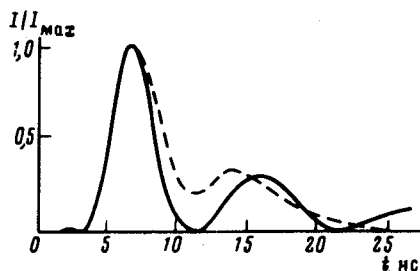
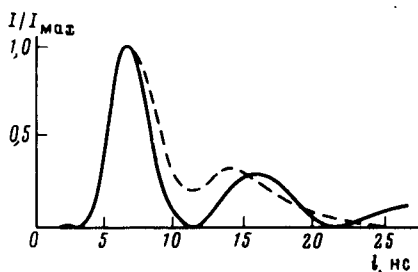
Известно (см. ⁴⁻⁶), что уравнения (1) допускают автомодельную подстановку

$$E = x \mathcal{E}(\xi), \quad R = R(\xi), \quad Z = Z(\xi), \quad \xi = 2\sqrt{x(t - x/v)}, \quad (5)$$

где $\mathcal{E}(\xi)$, $R(\xi)$, $Z(\xi)$ — однопараметрическое семейство регулярных решений системы уравнений

$$\xi \mathcal{E}_\xi + 2\mathcal{E} = 2R, \quad 2R_\xi = \xi \mathcal{E}Z, \quad 2Z_\xi = -\frac{\xi}{2}(\mathcal{E}R^* + \mathcal{E}^*R) \quad (6)$$

зависящие от параметра $\mathcal{E}_0 = \mathcal{E}|_{\xi=0}$.



Сплошная линия – автомодельное решение с $\xi_0 = 0,015$, $\tau_{SF} = 0,5$ нс. Пунктирная линия соответствует эксперименту ¹

Основным нашим результатом является утверждение, что решение линейной задачи (4) продолжается в нелинейную область автомодельным решением (5). Действительно, рассматривая асимптотику решения линеаризованной задачи при $vt \gg 1$

$$E(x, t) = \frac{2\rho(0)x}{\xi} I_1(\xi) \left[1 + O \left(\max \left\{ \frac{1}{v} \left(\frac{\tau_{SF}}{t} \right)^{1/2}, \frac{\rho'(0)}{\rho(0)} \left(\frac{\tau_{SF}}{\rho t} \right)^{3/4} \right\} \right) \right] \quad (7)$$

(здесь $\rho(0) \sim N^{-1/2}$ – значение начальной поляризации на краю образца) при достаточно больших временах ($t > t_{min}$: $t_{min} = \max \{ \tau_{SF}, c^2/L^2 \tau_{SF} \}$), убеждаемся, что главный член разложения является чисто автомодельным. Полагая в (7) $\xi = 0$, находим, что значение параметра $\xi_0 = \rho(0)$.

Автомодельное решение при различных значениях ξ_0 может быть легко найдено решением на ЭВМ обыкновенных уравнений (6). Это решение имеет первый максимум при $t \sim \tau_d \approx (\tau_{SF}/4) \ln^2(1/|\rho(0)|)$. Из требования $\tau_d \gg t_{min}$ имеем условие на длину образца, при котором свивка линейного решения с автомодельным имеет место при всех x

$$2\gamma L/c \ll \sqrt{\ln N}. \quad (8)$$

Мы произвели сравнение автомодельного импульса с импульсом, наблюдавшимся в эксперименте ¹. Параметр ξ_0 можно определить по наблюдаемому в эксперименте времени задержки первого импульса τ_d по формуле

$$|\xi_0|^2 \approx 4\pi^3 \left(\frac{\tau_d}{\tau_{SF}} \right)^{1/2} \exp \left(-4 \left(\frac{\tau_d}{\tau_{SF}} \right)^{1/2} \right)$$

выведенной с логарифмической точностью. Отношение параметров τ_d/t_{min} было порядка 20 при этом рассчитанная на ЭВМ форма импульса обнаружила хорошее совпадение с экспериментальной (рис. 1) в области первого максимума. Ухудшение совпадения при больших t связано, по-видимому с неучетом неоднородного уширения линии и дифракционных потерь.

Итак, можно считать установленным, что при наших предположениях результатом развития процесса суперфлуоресценции является формирование автомодельного импульса с некоторым (малым) значением параметра ξ_0 , определяемым флуктуациями поляризации на одном из концов образца.

При любом t каждому значению автомодельной переменной соответствуют два значения координаты x . При $t \rightarrow \infty$ одна из них распространяется вперед со скоростью, приближающейся к скорости света, вторая распространяется назад по закону $x = \xi_0/4t$, так что автомодельное решение описывает "волну разгрузки", имеющую движущиеся в разные стороны передний и задний фронты. При наших предположениях (8) о длине образца, внутри него помещается только задний фронт, групповая скорость которого противоположна фазовой. В этом смысле ситуация в случае суперфлуоресценции противоположна ситуации в усилите-

ле⁷, где также формируется квазиавтомодельное решение, но главную роль играет его передний фронт.

Последнее обстоятельство объясняет возможность пользоваться волнами, бегущими в одну сторону. При одновременном "зажигании" образца с двух концов формируются идущие навстречу друг другу волны разгрузки, слабо взаимодействующие до тех пор пока не произойдет столкновение областей в которых заселенность среды меняет знак после чего излучение из образца быстро прекращается. Заметим еще, что одновременное зажигание с двух концов достаточно маловероятно, так как дисперсия индивидуального времени задержки (см.²) имеет тот же порядок, что и это время.

Вывод об автомодельном характере суперфлуоресцентного импульса может быть дополнительно обоснован при помощи метода обратной задачи рассеяния (МОЗР). Схема МОЗР, позволяющая, в том числе и при учете неоднородного уширения, решить смешанную краевую задачу для суперфлуоресценции, будет опубликована в другом месте.

В заключение авторы благодарят С.И.Анисимова, А.П.Казанцева, Е.Д.Трифонова за полезные обсуждения.

Литература

1. Gibbs H.H., Vrehen Q.H.F., Hikspoors H.M.J. Phys. Rev. Lett., 1977, **39**, 547.
2. Haake F., Hans J.W., King H., Schröder G., Glauber R. Phys. Rev., 1981, **A23**, 1322.
3. Polder D., Schuurmans M.F.H., Vrehen Q.H.F. Phys. Rev. 1979, **A19**, 1192.
4. Burnham D.C., Chiao R.Y. Phys. Rev. 1969, **188**, 667.
5. Lamb G.L. Phys. Lett., 1969, **29A**, 507.
6. Захаров В.Е. Письма в ЖЭТФ, 1980, **32**, 603.
7. Манаков С.В. ЖЭТФ, 1982, **83**, 68.

Институт теоретической физики
им. Л.Д.Ландау
Академии наук СССР

Поступила в редакцию
7 декабря 1982 г.
После переработки
11 декабря 1983 г.